

繰り返し載荷による砂中の過剰間かき水圧

京都大学防災研究所 八木 別男
東洋エンジニアリング K.K. ○後藤 邦明

1. まえがき

砂地盤が地震のようにせん断応力を繰り返し受けたときダイレイタシヨーにより過剰間かき水圧が累積する。このように有効応力が減少し、砂地盤が破壊に至る液状化の問題は最近数多く研究されてきた。ここでは地盤が破壊に至らないが、繰り返せん断による過剰間かき水圧の累積とその消散による砂の圧縮について2,3の実験を行なったので報告する。

2. 実験条件、試料

用いた試験機は以前より京大防災研究所で使用してきた振動3軸試験機である。供試体は種々の相対密度の豊浦の標準砂である。非常に相対密度の小さい供試体を作るために、中立水飽和砂を凍らせて、3軸試験機にセットした。

載荷条件は圧縮およびエクステンション状態にまたがる繰り返せん断を与える。任意の時間における平均主応力 σ_m は一定である。これは地震時のように水平なせん断応力のみが地盤に作用するときは地盤全体についてみれば σ_m が一定の条件を満足していなければならない。非排水試験ではすべて初期有効応力は 1 kg/cm^2 で、せん断前に約 1 kg/cm^2 のバッファ $7^\circ\text{L}\gamma$ を作用させた。最大振動数はすべて、試験はつれて 1 Hz である。

3 実験結果と考察

3-1 繰り返し載荷による過剰間かき水圧；Fig.1は繰り返し載荷によつて発生した過剰間かき水圧 Δu と繰り返し回数 N との関係の代表的な一例を示したものである。相対密度 D_r が小さほど、 T_{act}/σ_m が大きほど N に対し Δu の上昇は急激になる。 N に対する Δu の上昇は3つの部分に分けられる。第1は $N=2 \sim 3$ まで比較的急激に、第2は N に対し直線的に、第3は再び急激な上昇と土を液状化する部分である。これらの実験結果はSeedらの結果と同じである。種々の実験結果より、 $\Delta u = 0.3, 0.5, 0.7, 1.0 \text{ kg/cm}^2$ に至る繰り返し回数と T_{act}/σ_m の関係を示したのがFig.2～Fig.4である。ここで T_{act} は八面体せん断応力の片振幅で、 σ_m は初期の圧密圧力である。Fig.2～Fig.4の各曲線は $N=N_i$ 、 $T_{act}/\sigma_m=\alpha$ なる漸近線をもつ双曲線に近似できると思われる。 N_i 、 α は $D_r, \Delta u$

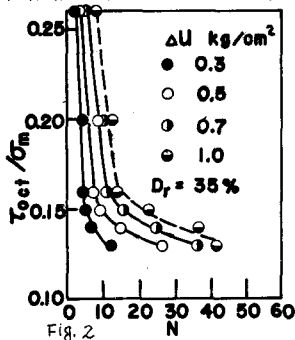


Fig. 2 初期の圧密圧力である。Fig.2～Fig.4の各曲線は $N=N_i$ 、 $T_{act}/\sigma_m=\alpha$ なる漸近線をもつ双曲線に近似できると思われる。 N_i 、 α は $D_r, \Delta u$

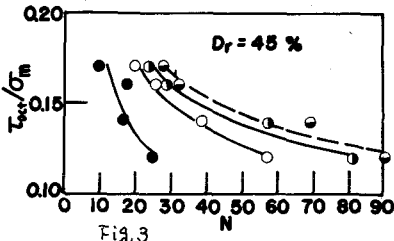


Fig. 3 $D_r = 45\%$

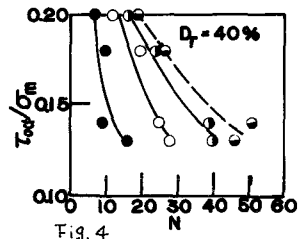


Fig. 4 $D_r = 40\%$

振動数などの関数であろう。 N は T_{act}/σ_m を無限に大きくすと供試体は破壊するので意味はない。しかし α は N を無限大にしても ΔU 以上の間で水圧が発生しない限界の T_{act}/σ_m を表わしている。 α と D_r , ΔU の関係はデーター数が少いこと、 D_r にややはさつきがあることの理由で求めたかった。今後さらには実験を行なう予定である。その他の粒子の大きさ、形状の影響を調べたが、粒径が大きいほど、形状が球形なほど水圧は発生しにくくなる。

3-2 過剰間け水圧の消散による圧縮；繰り返しせん断によつて地盤はかならずしも液状化しない。そのときは ΔU の消散によつて地盤は沈下する。そこで繰り返し載荷によつて発生した過剰水圧 ΔU の消散による砂の圧縮性を調べた。Fig.5 は初期有効応力 1 kg/cm^2 で、発生した ΔU の消散（有効応力の増加）に対して体積変化 $\Delta V/V$ を示したものである。図中、7°ロットにつけた数字は図中に示した D_r に対するものである。したがつて $\Delta U = 0.4 \text{ kg/cm}^2$ は 7°ロット曲線は有効応力 σ' が 0.6 kg/cm^2 から 1.0 kg/cm^2 に変化したときの体積変化を示していい。 $\Delta U = 0.1 \text{ kg/cm}^2$ の変曲点であるようであるが、この附近のデーターがなぜ不明である。

このような繰り返し載荷によつて発生した ΔU の消散による体積変化と比較するため普通の等方圧縮試験結果を Fig.6 に示す。Fig.6 は Fig.5 と比較のため、縦軸には 1 kg/cm^2 に至るまでの有効応力の変化 $\Delta \sigma'$ をとった。すなわち、 $\Delta \sigma' = 0.2 \text{ kg/cm}^2$ の 7°ロットは有効応力が 0.8 kg/cm^2 から 1 kg/cm^2 に変化したときの圧縮量を示していい。Fig.5 と比較すると繰り返し載荷によつて発生した ΔU の消散するときの方が大きな圧縮量を示していいことが注目できる。したがつて、地震のような繰り返し載荷を受けたときの地盤や基礎の沈下を推定する場合、等方圧縮試験によつて得られた圧縮係数を用ひる危険側になら。

つぎに動的な等方圧縮試験と静的のものを比較したのが Fig.7 である。これは 0.3 kg/cm^2 等方圧縮したのち、土 0.25 kg/cm^2 の等方振動圧を作用させながら振動圧の中央値を増加させたときの体積変化を示していい。動的の場合には振動有効応力の中央値に対してプロットしたものがである。有効応力のレベルの性質としては、静的の値は動的の場合の有効応力の中央値と最大値の間にあらかじめのレベルから上昇するが、動的の場合は有効応力の最大値に対してプロットしても静的の場合より大きくなれる。

5 あとがき

土の動的な特性は多くの要素に支配されるので、ここでは実験のデーターを不十分であつたため、定量的な特性を見出しえるには至らなかつた。今後実験を進め予定である。

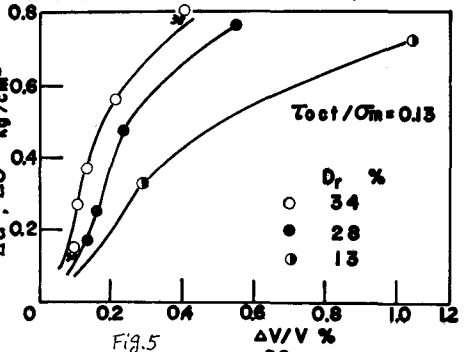


Fig.5

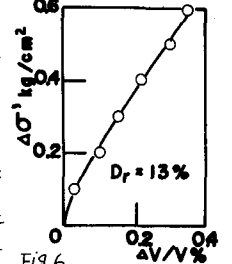


Fig.6

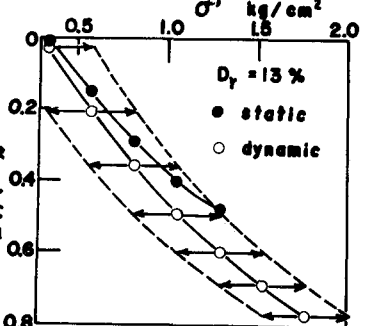


Fig.7